

Math-Net.Ru

Общероссийский математический портал

В. Л. Лобысев, А. А. Михайлов, Б. И. Гуревич,
Расчет нестационарного взаимодействия цилиндрической оболочки с упругой средой, *Исслед. по теор. пластин и оболочек*, 1992, выпуск 25, 9–14

Использование Общероссийского математического портала Math-Net.Ru подразумевает, что вы прочитали и согласны с пользовательским соглашением

<http://www.mathnet.ru/rus/agreement>

Параметры загрузки:

IP: 178.205.19.235

7 июня 2024 г., 16:15:45



4. Аки К., Ричардс П. Количественная сейсмология. - М.: Мир, 1983. - Т. I. - 519 с.

5. Гринченко В.Т., Улитко А.Ф., Шульга Н.А. Электроупругость. - Киев: Наукова думка, 1989. - 279 с.

6. Улитко А.Ф. Метод собственных векторных функций в пространственных задачах теории упругости. - Киев: Наукова думка, 1979. - 261 с.

В.Л.Лобысев, А.А.Михайлов, Б.И.Гуревич

РАСЧЕТ НЕСТАЦИОНАРНОГО ВЗАИМОДЕЙСТВИЯ ЦИЛИНДРИЧЕСКОЙ ОБОЛОЧКИ С УПРУГОЙ СРЕДОЙ

В линейно-упругой среде с параметрами Ламе λ, μ и плотностью ρ размещены полость и включение цилиндрической формы, оси которых параллельны. Радиусы полости и включения соответственно l_0 и l , расстояние между ними r_0 (рис. I). Включение представляет собой тонкостенную круговую цилиндрическую оболочку толщиной h , плотностью ρ_0 , с модулем упругости E и коэффициентом Пуассона ν .

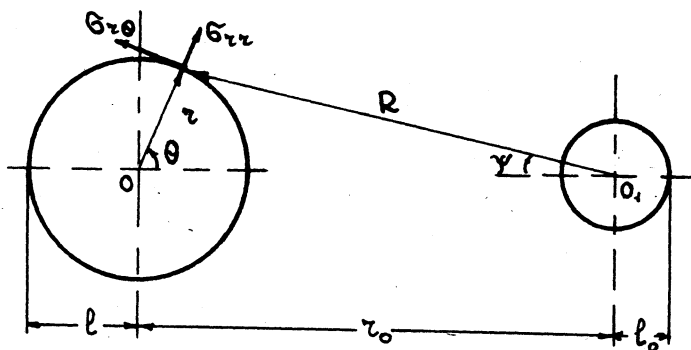


Рис. I

В начальный момент времени из состояния покоя начинается радиальное расширение полости по некоторому закону $W_{\text{пол}}(t)$. Возникшая в окружающей полость упругой среде цилиндрическая волна достигает оболочки, дифрагируя на ней и деформируя ее. Движение оболочки описывается системой волновых уравнений типа Тимошенко

$$\begin{cases} c_0^2 \left(\frac{\partial^2 w}{\partial \theta^2} + \frac{\partial \psi}{\partial \theta} \right) + \frac{\partial v}{\partial \theta} - w - \beta^2 \frac{\partial^2 w}{\partial t^2} = - \frac{2\beta^2}{m_0} q(\theta, t), \\ \frac{\partial^2 \psi}{\partial \theta^2} - \alpha^2 \psi - \beta^2 \frac{\partial^2 \psi}{\partial t^2} - \alpha^2 \frac{\partial w}{\partial \theta} = 0, \\ \frac{\partial^2 v}{\partial \theta^2} - \beta^2 \frac{\partial^2 v}{\partial t^2} - \frac{\partial w}{\partial \theta} = 0, \end{cases}$$

где $w(t, \theta)$, $v(t, \theta)$, $\psi(t, \theta)$ - радиальная и касательная составляющие перемещения срединной поверхности оболочки и угол поворота ее нормального сечения,

$$c_0^2 = \frac{1-\nu}{2} k^2, \quad \alpha^2 = 12 c_0^2 \frac{l^2}{k^2}, \quad \beta^2 = \frac{\lambda + 2\mu}{\rho} \cdot \frac{\rho_0(1-\nu^2)}{E},$$

$m_0 = 2kl\rho_0 l^{-1} \rho^{-1}$, k - коэффициент формы сечения, $q(\theta, t)$ - внешняя нагрузка на оболочку,

$$q(\theta, t) = \delta_{\text{нч}}^{(\text{пад})}(\theta, t) + \delta_{\text{нч}}^{(\text{отр})}(\theta, t) + \delta_{\text{нч}}^{(\text{изл})}(\theta, t). \quad (I)$$

Составляющие нагрузки в (I) обусловлены воздействием на оболочку следующих упругих волн:

- прямой (падающей) волны, распространяющейся от расширяющейся полости;
- отраженных волн, возникающих при взаимодействии падающей волны с жестким неподвижным включением;
- волн излучения, вызванных движением и деформацией оболочки.

Для указанных в (I) величин можно получить следующие изображения по Лапласу:

$$\frac{1}{\lambda + 2\mu} \delta_{\text{нч}}^{(\text{пад})}(\theta, s) = - \frac{s \tilde{W}_{\text{пол}}(s)}{k_1(s l_0)} \sum_{m=0}^{\infty} (2 - \delta_{m,0}) [(1 - \gamma^2) \tilde{\psi}_{0,m}(s) + \gamma^2 \tilde{\psi}_{2,m}(s)] \cos m \theta, \quad (2)$$

$$\frac{1}{\lambda + 2\mu} \tilde{\delta}_{rr}^{(отр)}(\theta, s) = -\frac{s \tilde{W}_{пол}(s)}{K_1(s l_0)} \gamma^2 \sum_{m=0}^{\infty} (2 - \delta_{m,0}) \cos m \theta \times \\ \times [s \tilde{h}_m^{(1)}(s) \tilde{\psi}_{1,m}(s) + m \tilde{h}_m^{(2)}(s) \tilde{\psi}_{2,m}(s)], \quad (3)$$

$$\frac{1}{\lambda + 2\mu} \tilde{\delta}_{rr}^{(нал)}(\theta, s) = -\gamma^2 \sum_{m=0}^{\infty} (2 - \delta_{m,0}) \cos m \theta \tilde{h}_m^{(1)}(s) s^2 \tilde{w}_m(s),$$

где S - параметр преобразования Лапласа по времени,

$$\tilde{\psi}_{n,m}(s) = K_m(s \gamma_0) \frac{I_{m-n}(s) + I_{m+n}(s)}{2}, \quad \tilde{\varphi}_{n,m}(s) = K_m(s \gamma_0) \frac{I_{m-n}(s) - I_{m+n}(s)}{2}, \\ \tilde{h}_m^{(1)}(s) = \frac{(\frac{s^2}{\gamma^2} + 4m^2) K_m(\frac{s}{\gamma}) K_m(s) + 2 \frac{s}{\gamma} [K_m(s) K_{m+1}(\frac{s}{\gamma}) + \gamma K_m(\frac{s}{\gamma}) K_{m-1}(s)] -}{s^2 [s K_m(\frac{s}{\gamma}) \frac{K_{m-1}(s) + K_{m+1}(s)}{2} + \gamma \Omega_m(s)]} \dots \\ \dots - \frac{2\gamma(m^2 - 1) \Omega_m(s)}{s K_m(\frac{s}{\gamma}) \frac{K_{m-1}(s) + K_{m+1}(s)}{2} + \gamma \Omega_m(s)}, \quad \tilde{h}_m^{(2)}(s) = \frac{K_m(s) K_m(\frac{s}{\gamma}) - \gamma \Omega_m(s)}{s K_m(\frac{s}{\gamma}) \frac{K_{m-1}(s) + K_{m+1}(s)}{2} + \gamma \Omega_m(s)}, \quad \gamma^2 = \frac{\mu}{\lambda + 2\mu},$$

$$\Omega_m(s) = K_{m+1}(s) K_{m-1}(\frac{s}{\gamma}) + K_{m+1}(\frac{s}{\gamma}) K_{m-1}(s), \quad \tilde{w}_m(s) = \frac{1}{\pi} \int_0^\pi \tilde{w}(\theta, s) \cos m \theta d\theta.$$

После представления перемещений оболочки рядами Фурье, используя зависимости (2 - 4), можно для каждой гармоники, например, ускорения радиального перемещения получить интегральное уравнение вида

$$\tilde{Y}_m(s) [1 + \frac{2}{m_0} \tilde{h}_m^{(1)}(s) + \Delta \tilde{h}_m(s)] = \frac{2}{m_0} F_m(s). \quad (4)$$

В этом равенстве

$$\tilde{Y}_m(s) = -\frac{s \tilde{w}_m(s) K_1(s l_0)}{\tilde{W}_{пол}(s) e^{-s l_0}}, \quad \Delta \tilde{h}_m(s) = \frac{F_0}{(s\beta)^2} + \frac{F_1}{m^2 + (s\beta)^2} + \frac{F_2}{m^2 + \alpha^2 + (s\beta)^2},$$

$$F_0 = \frac{m^4 c_0^2}{m^2 + \alpha^2}, \quad F_1 = 1, \quad F_2 = \frac{m^2 \alpha^2 c_0^2}{m^2 + \alpha^2},$$

$$e^{-s l_0} F_m(s) = (1 - \gamma^2) \tilde{\psi}_{0,m}(s) + \gamma^2 \tilde{\psi}_{2,m}(s) + s \tilde{h}_m^{(1)}(s) \tilde{\psi}_{1,m}(s) + \\ + m \tilde{h}_m^{(2)}(s) \tilde{\psi}_{2,m}(s).$$

Уравнение (4) может быть записано в оригиналах

$$Y_m(t) + \int_0^t Y_m(\tau) K(t-\tau) d\tau = \frac{2}{m_0} F_m(t). \quad (5)$$

После его решения нетрудно найти $\ddot{w}_m(t)$:

$$\ddot{w}_m(t) = - \int_0^t Y_m(t-\tau) \eta\left(-\frac{\tau}{t_0}\right) d\tau,$$

где $\eta(t) \doteq \frac{e^{-\delta}}{s K_1(s)}$.

Величина $\ddot{w}_m(t)$ представляет собой m -ю гармонику радиального ускорения оболочки при радиальном расширении полости с единичной скоростью. Общее радиальное ускорение произвольной точки оболочки определяется рядом Фурье

$$\ddot{w}(\theta, t) = \sum_{m=0}^{\infty} (2 - \delta_{m,0}) \ddot{w}_m(t) \cos m \theta.$$

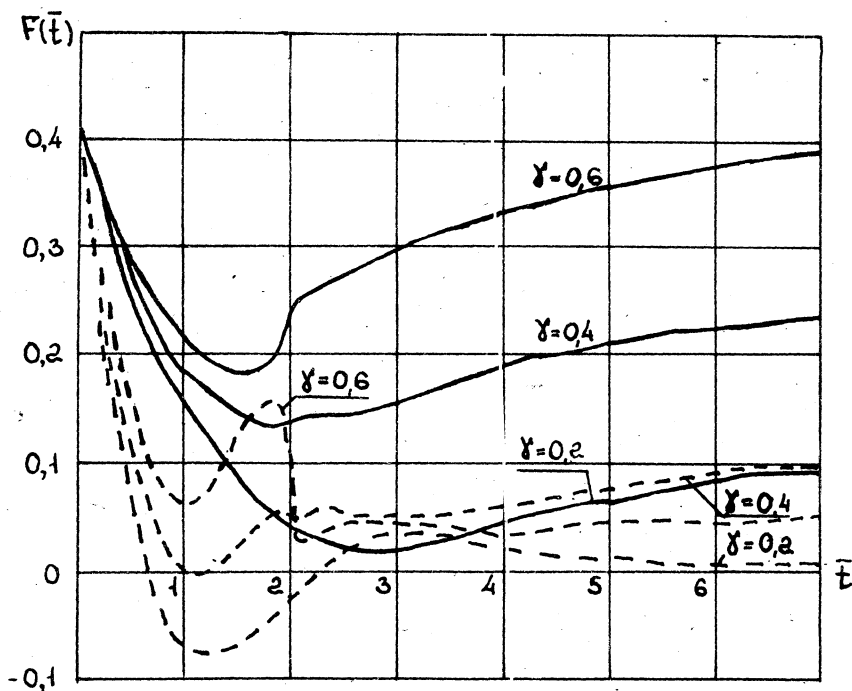


Рис. 2

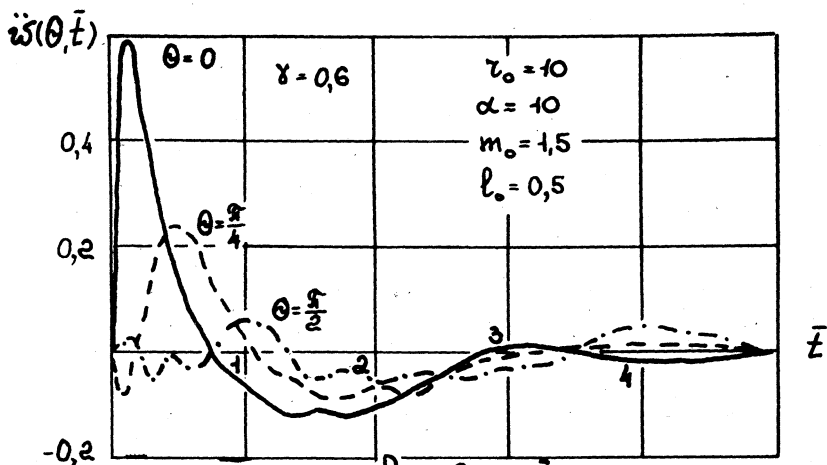


Рис. 3

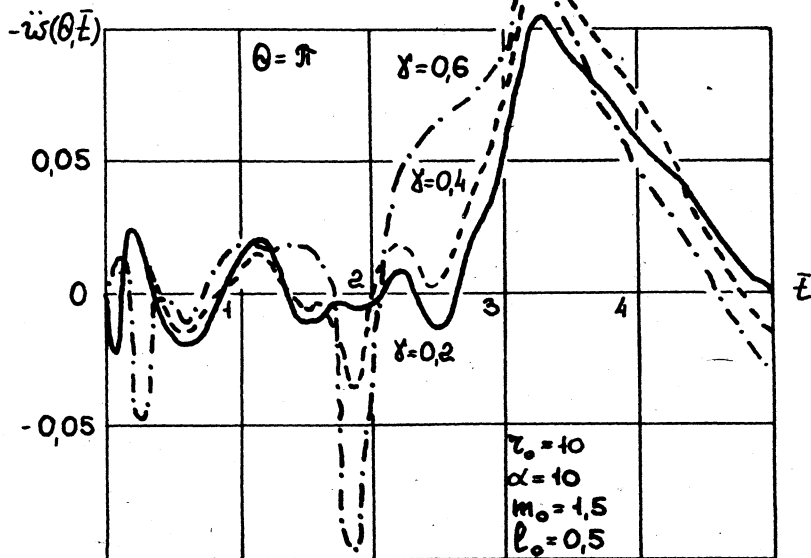


Рис. 4

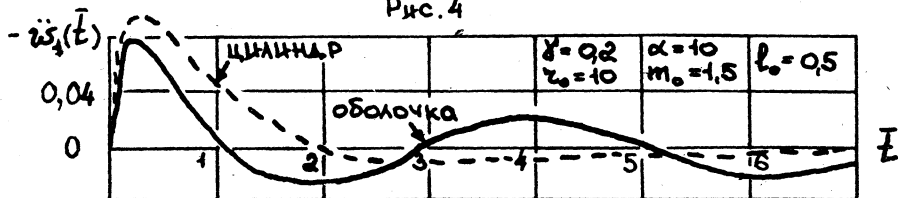


Рис. 5

На рисунке 2 приведены функции $F_m(t)$ из уравнения (5) для $m_0 = 1.5$, сплошная линия соответствует $m = 1$, пунктирная $m = 2$. На рисунках 3, 4 даны функции $\ddot{w}(\theta, t)$, определяющие ускорение некоторых точек оболочки при радиальном расширении полости с единичной скоростью. На рисунке 15 сопоставлены радиальные ускорения при смещении включения как твердого целого и как упругой оболочки.

Все расчеты по определению оригиналов по их изображениям проводились по методу Ю.С.Яковлева [1].

Число рассчитанных гармоник ($m = 0 + 6$) недостаточно для выявления "скачков", но достаточно для получения величины и времени наступления максимумов ускорений оболочки.

Проведенные расчеты позволяют отметить следующее:

1. Значение γ не оказывает существенного влияния на величину максимума $\ddot{w}(\theta, t)$.
2. Величина β почти не влияет на эпюру $\ddot{w}(\theta, t)$ в период $0 < \bar{t} < 2$, а при $\bar{t} > 2$ влияние β становится заметным, особенно для "тыльной" стороны оболочки.
3. Величина максимума $\ddot{w}(\theta, t)$ обратно пропорциональна m_0 .
4. Максимум $\ddot{w}(\theta, t)$ почти прямо пропорционален $\sqrt{l_0}$ и обратно пропорционален $\sqrt{v_0}$.

Л и т е р а т у р а

1. Л о б ы с е в В.Л., Я к о в л е в Ю.С. Метод асимптотически эквивалентных функций и его приложение к решению некоторых задач механики сплошных сред // Проблемы механики твердого деформируемого тела. - Л.: Судостроение, 1970. - С.239 - 250.

П.З.Луговой, В.Ф.Мейш

УТОЧНЕННАЯ МОДЕЛЬ ДИСКРЕТНО ПОДКРЕПЛЕННЫХ ПЛАСТИН И ОБОЛОЧЕК ПРИ НЕСТАЦИОНАРНЫХ НАГРУЗКАХ

В настоящей работе рассматривается динамическое поведение подкреплённых оболочек с учетом дискретного расположения ребер. Ребристая оболочка рассматривается как система, состоящая из собственно оболочки (обшивки) и соединённых с ней жестко по ли-